

# ДИСПЕРСИОННЫЕ ПРАВИЛА СУММ ДЛЯ ФОРМ-ФАКТОРА $\pi$ -МЕЗОНА

Л.А.Халфин, В.П.Щербин

1. В работе одного из авторов (Л.А.Х.) [1] были получены дисперсионные правила сумм (ДПС) для формфакторов элементарных частиц. Эти ДПС связывают между собой поведение формфактора  $G(t)$  при  $t \leq 0$  и поведение  $G(t)$  при  $t \geq t_0$ ,<sup>1)</sup> которое определяется сечением в аннигиляционном канале. Из этих ДПС можно получить, как было указано в [1], оценку<sup>2)</sup> электромагнитного радиуса элементарных частиц.

2. В настоящей работе исследуются ДПС для формфактора  $G(t)$   $\pi$ -мезона. В этом случае  $t_0 = 4m_\pi^2$ ,  $G(t)$  – вещественна при  $t < t_0$  при  $t \leq 0$  формфактор  $G(t)$  исследовался экспериментально во многих работах [3]. При  $t \geq t_0$   $G(t)$  определен через сечение аннигиляции



которая была недавно изучена с помощью электронпозитронных встречных пучков [4].

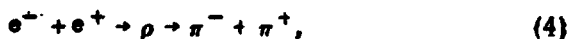
3. На основании методов работы [1] получены следующие ДПС:

$$i = \int_{t_1}^{t_2} \frac{G(t) dt}{\sqrt{(t-t_2)(t_1-t)(t_0-t)}} = \int_{t_0}^{\infty} \frac{\text{Re } G(t) dt}{t_0 \sqrt{(t-t_2)(t-t_1)(t-t_0)}} = i \quad (2)$$

$$\rho = \int_{t_1}^{t_2} \frac{\ln G(t) dt}{\sqrt{(t-t_2)(t_1-t)(t_0-t)}} = \int_{t_0}^{\infty} \frac{\ln |G(t)| dt}{t_0 \sqrt{(t-t_2)(t-t_1)(t-t_0)}} = \rho \quad (3)$$

В (2), (3) –  $-\infty < t_2 < t_1 \leq 0$ . ДПС (2), (3), в частности, отличаются тем, что соответствующим выбором  $t_1$  в них может быть исключена область очень малых  $t \in [t_1, 0]$ , где  $G(t)$  экспериментально определена с малой точностью. При выводе (2) предположено определенное степенное ограничение на асимптотику  $G(t)$ . ДПС (3) справедливы при всех степенных асимптотиках  $G(t)$ , однако предполагается, что  $G(t)$  не имеет комплексных нулей.

4. Если считать, что реакция (1) в основном идет через  $\rho$ -мезон, т.е.



<sup>1)</sup>Обозначения из [1].

<sup>2)</sup>Некоторые сходные оценки радиуса элементарных частиц были приведены в [2].

то при  $t \geq 4m_\pi^2$  (во всяком случае в окрестности резонанса)  $|G(t)|$  есть:

$$|G(t)|^2 = \frac{k m_\rho^4}{(t - m_\rho^2)^2 + m_\rho^2 \Gamma_\rho^2}, \quad (5)$$

где на основании [4]  $k = 0,59 \pm 0,15$ ;  $m_\rho = 764 \pm 11 \text{ Мэв}$ ;  $\Gamma_\rho = 93 \pm 15 \text{ Мэв}$ .

В этих же предположениях

$$\text{Re}G(t) = \frac{(m_\rho^2 - t) k^{1/2} m_\rho^2}{(t - m_\rho^2)^2 + m_\rho^2 \Gamma_\rho^2}. \quad (6)$$

Наиболее точные результаты относительно  $G(t)$  были получены в [5] для интервала переданных импульсов  $t \in (1 + 6)t^{-2}$ . Основной вывод работ [5] состоит в том, что в пределах экспериментальных погрешностей пионный и протонный зарядовые формфакторы идентичны и, следовательно, как протонный, так и  $\pi$ -мезонный  $G(t)$  описываются формулой

$$G(t) = [1 - (t/\sigma)]^{-2}, \quad (7)$$

где для  $\pi$ -мезона  $\sigma = 0,62 \pm 0,16 (\text{Гэв}/c)^2$ .

5. Экспериментальные результаты, описанные в п.4 использовались для численного анализа ДПС (2), (3). В системе единиц, где  $\hbar = c = 5m_\pi = 1$ ,  $t_1$  в (2), (3) выбиралось  $t_1 = -0,02$ ; значения  $t_2$  изменялись в следующих интервалах  $t_2 \in [-0,1, -0,5]$ ,  $[-0,5, -10]$ ,  $[-10, -600]$ . Заметим, что максимальное экспериментально изученное значение  $t$  в наших единицах соответствует  $-t = 0,48$ . При вычислении использовались значения  $\sigma$  в интервале  $\sigma \in [0,46, 0,72] (\text{Гэв}/c)^2$ , где верхняя граница соответствует нуклонному  $G(t)$ . Значения  $k$ ,  $m_\rho$ ,  $\Gamma_\rho$  выбирались согласно [4]. Вычисления производились на ЭВМ с соответствующим учетом интегрируемых особенностей в (2), (3). Результаты представлены на рис. 1, 2.

6. Как видно из рис. 1 при малых значениях  $t_2$  имеется несогласие между аппроксимацией экспериментальных данных согласно (6), (7). Это можно объяснить как тем, что локальные свойства  $G(t)$  плохо описываются при этих малых значениях  $t$  формулой (6), так и тем, что при вычислении  $i$  подчеркиваются значения  $t$  близкие к  $t_0$ , для которых аппроксимация в виде (6) явно недостаточна. С увеличением  $|t_2|$  согласие между аппроксимационными формулами (6), (7) становится достаточно хорошим, при этом хорошее согласие достигается при  $|t_2|$  много больших экспериментально проверенных. Возможно, что согласие  $i$ ,  $j$  улучшится, если в формуле (6) учесть дополнительно далекий резонанс, либо произвести более точный учет нерезонансной зависимо-

сти, в частности, порогового поведения в окрестности  $t = t_0$ . Как видно из рис. 2, расхождение между  $p$ ,  $q$  при малых  $t_2$  гораздо более значительно. Это связано с тем, что в (3) подчеркиваются те значения  $t$  (в частности  $t$  близкие к  $t_0$ ), при которых аппроксимация  $G(t)$   $\rho$ -мезонным пиком явно недостаточна. С увеличением  $|t_2|$  расхождение

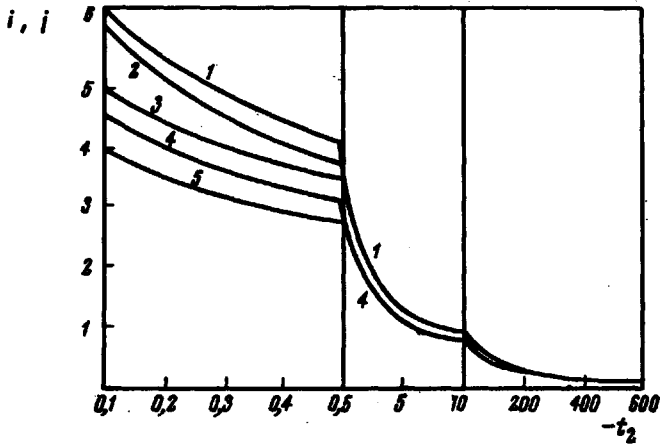


Рис. 1

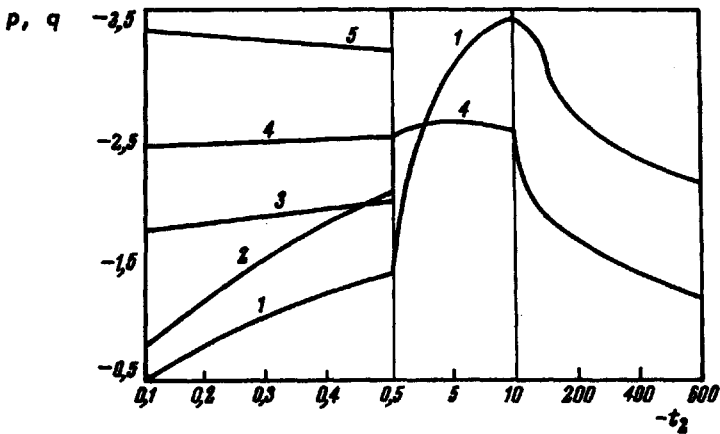


Рис. 2

Кривые 1, 2 – значения  $i$ ,  $p$  соответственно при  $a = 0,72$ ;  $0,46$  ( $\text{Гэс}/c$ )<sup>2</sup>; кривые 3, 4, 5 – значения  $j$ ,  $q$  соответственно при  $k = 0,74$ ,  $m_\rho = 775$  Мэв,  $\Gamma_\rho = 108$  Мэв;  $k = 0,59$ ,  $m_\rho = 764$  Мэв,  $\Gamma_\rho = 93$  Мэв;  $k = 0,44$ ,  $m_\rho = 753$  Мэв,  $\Gamma_\rho = 78$  Мэв

уменьшается вплоть до  $t_2 \sim -2,5$ , а при дальнейшем увеличении  $|t_2|$  вновь становится значительным. Уменьшение расхождений  $p$ ,  $q$  до  $t_2 \approx -2,5$  можно объяснить тем, что при увеличении  $|t_2|$  в этой области вклад пороговой области ( $t \sim t_0$ ) становится менее значимым и резонансное приближение (5) становится достаточно хорошим. Ухудшение же при дальнейшем увеличении  $|t_2|$  может быть объяснено как тем,

что экстраполяция  $G(t)$  согласно (7) может не иметь места, так и тем, что в (3) начинают более сильно подчеркиваться значения  $G(t)$  при больших  $t$ , где  $\rho$  — резонансное поведение явно недостаточно. Учитывая, однако, тенденцию кривых рис. 1 можно думать, что это расхождение при больших  $|t_2|$  между  $\rho$ ,  $q$  объясняется и вкладом возможных комплексных нулей  $G(t)$ , которые не учтены в (3).

7. Легко показать, что для  $t_1 \leq t \leq t_0$  для  $G(t)$  справедливо следующее дисперсионное соотношение:

$$\ln G(t) = \frac{[(t_0 - t)(t - t_1)(t - t_2)]^{\frac{1}{2}}}{\int_{t_0}^{\infty} \frac{\ln |G(t')| dt'}{\sqrt{(t' - t_0)(t' - t_1)(t' - t_2)(t' - t)}} - \int_{t_1}^{t_2} \frac{\ln G(t') dt'}{t_2 \sqrt{(t_0 - t')(t_1 - t')(t' - t_2)(t' - t)}}}. \quad (8)$$

С помощью (8) можно в принципе вычислить поведение  $G(t)$  при  $t \rightarrow 0$  и тем самым оценить э.м. радиус  $\pi$ -мезона. Предварительные расчеты показывают, что при  $t \geq t_0$  необходимо более корректное представление  $|G(t)|$ , чем то, что дается (5). В недавней работе [6] оценивался радиус  $\pi$ -мезона с использованием только экспериментальных данных о  $\rho$ -резонансе. Формула, по которой производилась оценка в [6] является частным случаем ДПС (3). В [6] получена очень грубая оценка, ибо, как показано выше, в области малых  $t$  ДПС выполнены в этих приближениях плохо. В принципе (8) использует больше экспериментальной информации и можно надеяться получить более точную оценку для  $\langle r_{\pi} \rangle$ .

Ленинградское отделение  
Математического института  
им. В.А.Стеклова  
Ленинградский  
государственный университет  
им. А.А.Жданова

Поступило в редакцию  
9 сентября 1968 г.

#### Литература

- [1] Л.А.Халфин. ЯФ, 7, 876, 1968.
- [2] Нгуен Ван Хьеу. ЯФ, 7, 1111, 1968.
- [3] F. S. Crawford. Phys. Rev., 117, 1119, 1966; J. Allen et al. Nuovo Cim, 32, 1114, 1964; В.Г.Гришин и др. ЯФ, 2, 886, 1965; M. M. Sternheimer, R. Hofstadter. Nuovo Cim, 38, 1854, 1966; M. E. Norberg, K. F. Kinsey. Phys. Lett., 20, 692, 1966.
- [4] V. L. Auslander et al. Phys. Lett., 25B, 433, 1967.
- [5] C. W. Akerlof et al. Phys. Rev., 163, 5, 1482, 1968; M. M. Block et al. Phys. Rev., 169, 1074, 1968.
- [6] J. E. Bowcock, Th. Kannelopoulos. Nucl. Phys., B4, № 4, 417, 1968.